

(61) 地震荷重を含む組合せ荷重下での下部構造物の信頼度評価

京都大学工学部 正 山田 善一 同 正 家村 浩和
京都大学工学部 正○野田 茂 愛知県庁 正 沢野 修平

1 緒論

著者らは、これまでスパン20~300mの単純桁橋道路橋を対象とし、死荷重、活荷重と雪荷重の組合せに対して、橋軸方向の上部構の安全性を検討してきた。¹⁾最近のすう勢である信頼性理論に基づくコード・キャリブレーションなどに関連して、荷重組合せ係数を合理的に規定したり、組合せの重要性を認識するところは、構造物の安全性を確保する際の重要な課題の一つである。そこで、本研究では、まず実測データや確率統計的手法を用いて各種荷重のモデル化を試み、組合せ荷重効果の最大値の確率分布を求めた。この方法を三径間連続高架橋の橋脚に適用し、橋軸および橋軸直角方向における荷重の組合せパターンや下部構造物の安全性について考察した。活荷重・風荷重・地震の影響は再帰的アソソ過程で表示し、温度変化の影響については正弦波モデルへ提案とシミュレーションから推定した。特に、地震荷重の確率分布は、加速度応答スペクトルのアティュエーション特性や地震危険度解析を用いて算定している。

2 対象構造物および組合せ応力の算定

(1)構造モデル 過去の橋梁の被害実態調査によれば、橋台・橋脚などの下部構造の被害とそれに誘発して上部構造の被害が生じていい。そこで、本研究では、図-1に示すような三径間連続鋼床版工型橋橋の中で一様断面の一層T型鋼製ラーメン橋脚に注目した。特に、P3の橋脚を対象とし、その橋脚下端に発生する応力の照査を行ってみた。橋脚P3の寸法は図-1に示す。なお、下部橋脚に影響を及ぼす上部構造P3に支持された面側の1/2スパンの析部分である。本研究ではこのプロトタイプを簡略化して、図-2のような構造モデルを考えた。ここで、計算に必要なパラメーターとして以下の諸量を導入する。

A_c : 橋脚柱の断面積, q_B , q_c : 染および橋脚柱の単位長さ当たり重量, l_B , l_c : 染および橋脚柱の長さ, l'_B : 橋脚柱間長, I_B : 染の断面2次モーメント, I_c, I'_c : 橋脚柱の橋軸方向および橋軸直角方向の断面2次モーメント, A: 上部構の有効鉛直投影面積, B, H_c: 橋脚柱の橋軸方向および橋軸直角方向の厚み, α, E : 鉄の線膨張率および弾性係数。

また、 $P_0, P_L, \Delta T, \alpha, \nu$ は各々死荷重(kg), 活荷重(kg), 温度変化(deg), 最大応答加速度(gal), 風速(m/s)を意味する。

(2)橋軸方向の荷重による応力 図-2に示す橋脚下端P3Aに生じる組合せ最大応力 σ_{Total} は、以下の各荷重効果の線形和で与えられると仮定する。 $\sigma_{Total} = \sigma_D + \sigma_L(M_{EA} + M_T) \frac{1}{I_c} \frac{B}{2}$ ————— (1)

①死荷重(上部構の死荷重により発生する橋脚の鉛直反力 P_0 と橋脚の自重など)——この軸力に対する応力 σ_D は、 $\sigma_D = (P_0 + q_B l_B + 2 q_c l_c) / 2 A_c$ ————— (2) である。

②活荷重(活荷重により発生する橋脚の鉛直反力)——この活荷重による軸力に対する応力 σ_L は、

$$\sigma_L = P_L / 2 A_c ————— (3) となる。$$

③温度の影響——橋軸方向に対して上部構と橋脚を分離固定として結合すると、温度変化によって橋軸方向の

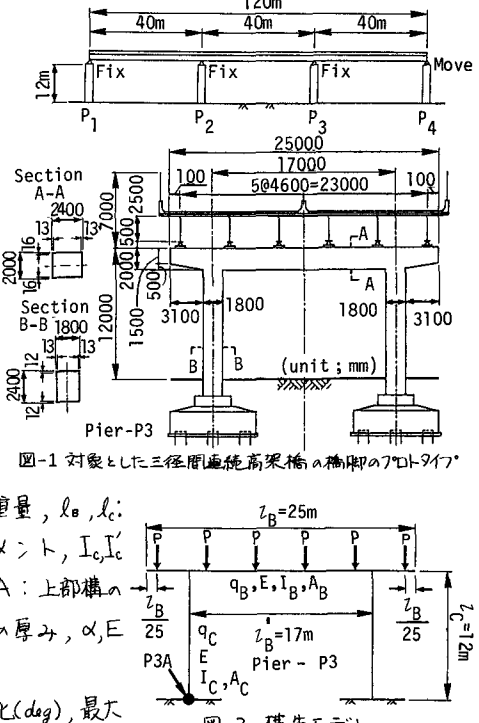


図-1 対象とした三径間連続高架橋の橋脚のプロトタイプ

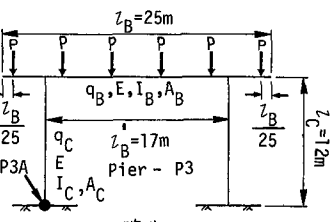


図-2 構造モデル

拘束力が働く。橋脚P1~P3間の二径間に於いて、主桁の温度変化 ΔT により、橋脚P3が主桁から受けける最大曲げモーメント M_T は、 $M_T = \alpha l c \Delta T / (\frac{1}{K} + \frac{1}{K_c})$ ————— (4) $[K = \frac{EA}{\ell}, K_c = \frac{3EI_c}{\ell^3}]$ となる。

④地震の影響 地震力によって橋脚下端に生じる最大曲げモーメント M_{EQ} は、

$$M_{EQ} = P_{EQ} \ell + \frac{8E_0 l^2}{2} \quad (5) \quad [P_{EQ} = (P_D + P_L + 8_B l_B) \frac{a}{g}, 8_{EQ} = 8_c \frac{a}{g}]$$

となる。道路橋示方書・同解説の耐震設計編では活荷重の重量効果を無視している。しかし、ここでは P_{EQ} の算定に当り P_L を含むことにより、活荷重を考慮した地震力を評価している。

(3) 橋軸直角方向の荷重による応力

この場合の組合せ最大応力 σ_{Total} は次式で表わされる。

$$\sigma_{Total} = \sigma_D + \sigma_L + (M_D + M_L + M_T + M_{EQ} + M_w) \frac{1}{I_c} \frac{H_c}{2} \quad (6)$$

また、 σ_D と σ_L は式(2)と(3)によつて求められる。その他の M_D ~ M_w の曲げモーメントに於ける作用する力 $P, 8_B, \Delta T, P_D, P_w$ によつて橋脚下端に生じ、各々以下の式(7)~(11)で示される。

①上載荷重による橋脚下端P3Aでの断面力 M_D (P, 1支承当たりに作用する上載荷重)

$$M_D = \frac{1}{k+2} \frac{203}{2125} P l_B \quad (7) \quad [k = \frac{I_B l_c}{I'_c l'_B}]$$

②橋脚自重 $M_L = \frac{1}{k+2} \frac{193}{7500} 8_B l_B^2 \quad (8)$

③温度の影響 橋脚全体が一様な温度変化 ΔT を受けろものとし、日光直射部分と日陰部分との温度差は考慮しない。 $M_T = \frac{3(1+k)}{(2+k)k} I_B \Delta T \quad (9)$

④地震の影響 水平加速度のみを考え、簡単のために橋脚部分に作用する地震力は無視する。

$$M_{EQ} = \frac{(1+3k)l_c}{2(1+6k)} P_{EQ} \quad (10)$$

⑤風荷重 橋脚部分に作用する風は無視して、上部構の有効鉛直投影面に作用する風を考える。支承を通じて橋脚に与えられる風荷重による曲げモーメント M_w は、

$$M_w = \frac{(1+3k)l_c}{2(1+6k)} P_w \quad (11)$$

$$[P_w = \frac{1}{2} C_0 P A V^2, C_0: \text{抗力係数}, P: \text{空気密度}]$$

3. 各種荷重モデルと組合せ荷重の最大値の確率分布

式(1)と(6)は、荷重効果(応力)として次式に書き改められる。

$$S' = C'_D P_D + C'_L P_L + C'_T \Delta T + C'_{EQ} a + C'_w V^2 \quad (12)$$

ここで、 $C'_D, C'_L, C'_T, C'_{EQ}, C'_w$ は荷重から荷重効果への変換係数である。 $X(t)$

上式は、死荷重効果 $C'_D P_D$ で正規化すれば、次のようになる。

$$S = 1 + C_L P_L + C_T \Delta T + C_{EQ} a + C_w V^2 \quad (13)$$

なお 橋軸方向については、 $C'_D P_D = 58.097 \text{ kg/cm}^2, C_L = 8.6618 \times 10^{-7}, C_w = 0,$

$C_B = 1.681 \times 10^{-4}, C_T = 3.8619 \times 10^{-1}$ 、橋軸直角方向については、 $C'_D P_D = 8.4536 \text{ kg/cm}^2,$

$C_L = 8.686 \times 10^{-7}, C_w = 1.9985 \times 10^{-4}, C_{EQ} = 7.2714 \times 10^{-3}, C_T = 6.5358 \times 10^{-2}$ の値が求められた。

(1) 各荷重の確率分布 死荷重は変動しない一定値とする。活荷重、風荷重、地震荷重は図-3の再帰ボアソン過程(λ : 荷重到着率, $\mu_A = \frac{1}{\lambda}$: 平均継続時間, 荷重強度の条件付確率密度)でモデル化した。なお、各荷重の諸パラメータについては、大阪地区の実測データを用いて決定した。

①活荷重 完全満帶時のデータを用い、第1種極値分布を採用した。 μ_{all} は1.5時間とする。荷重強度の平均値 μ_L と標準偏差 σ_L 、発生率 v_L は2通りと想定した。Case 2: $v_L = 3.4737 \times 10^3 (\text{1/year}), \mu_L = M, \text{Case 7: } v_L = 6.9474 \times 10^3 (\text{1/year}), \mu_L = M + 30$ 。 $E = l, M = 1.4449 \times 10^4 \text{ kg}, \sigma = 5.2226 \times 10^4 \text{ kg}$ 。橋軸方向については $\sigma_L = \sigma$ 、橋軸直角方向については $\sigma_L = 0.34\mu_L$ とする。

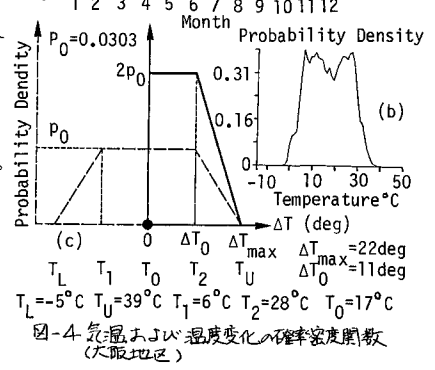
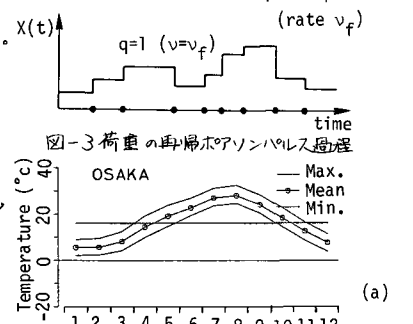
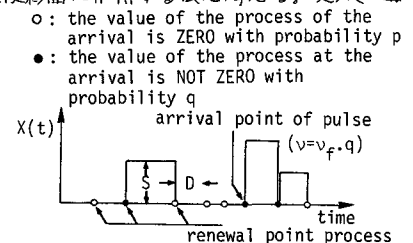


図-4 気温および温度変化の確率密度関数
(大阪地区)

②温度の影響——構造設計上問題となる気温の影響は、構造物内の温度差と平均的温度の変化の2つである。本研究では、気温と部材温度を同じ等しいと考え、平均的温度変化を組合せ荷重に導入した。1日の気温変化は正弦波的⁽¹⁾か、日平均気温の月別平均値も図-4(a)のように変化する⁽²⁾。このことから、気温Tを推定するのに次式を採用した。

$$T(\text{C}) = T_0 + T_g \sin 2\pi t_{\text{annual}} + T_d \sin 2\pi t_{\text{daily}} \quad (14)$$

ここに、 T_0, T_g, T_d は正規変数⁽³⁾、 $t_{\text{annual}}, t_{\text{daily}}$ は位相差と考慮して日数と時間と表す。標準分布変数である。大阪地区の気温データから、 $T_0: N(16.5, 0.7^2)$ 、 $T_g: N(11.6, 0.5^2)$ 、 $T_d: \sin 2\pi t_{\text{daily}} 20\alpha$ とさ $N(3.9, 1.9^2)$ 、 $\sin 2\pi t_{\text{daily}}$ のとき $N(3.9, 1.6^2)$ が推定された。上式(14)の確率密度分布と解析的に求めることは複雑である。ここでは175,200回のシミュレーションを実施して、図-4(b)の分布を求めた。さらに、これと図-4(c)のようロ台形に簡略化した。平均値 $T_0=17^\circ\text{C}$ 、上下限値 $T_u=39^\circ\text{C}$ 、 $T_L=-5^\circ\text{C}$ は実測値⁽⁴⁾によく符合している。また、建設終了時($T_0=17^\circ\text{C}$)からの温度変化△Tの分布も図中に示している。この温度荷重は常時作用しているものとする。

③風荷重——藤野らが求めた極値分布の混合I型分布を採用した。 $E=1$ 、 $V_w=1(\text{1/year})$ 、 $\mu_{dw}=1.903 \times 10^{-5}(\text{year})$

④地震の影響——大阪地区から半径300km以内の679年から1971年までの地震記録から、 $V_{EQ}=9.745 \times 10^{-3}(\text{year})$ とした。スケニュードMと地震発生回数 N_M との関係は、相関係数 $P=-0.94$ で、

$$\log_{10} N_M = H(M_u - M) \{a - b(M - M_e) H(M - M_e)\} \quad (15) \quad [a=2.4, b=0.5, M_e=5.2, M_u=8.6]$$

と線形関係⁽⁵⁾となった。地震動の継続時間は $T_d(\text{sec})=0.02 e^{0.74 M} + 0.3 \Delta$ (△:震央距離)と $T_d=11.2M - 5.3(M > 5)$ の関係式を用いて、平均的に $\mu_{dEQ}=1.143 \times 10^{-6}(\text{year})$ と推定した。また、加速度応答スペクトルの確率分布は、面震源を考えてCornell流の地震危険度解析から求めた。 $P_{Sa}(x)=\text{Prob}[S_a \leq x]=K \left(1 - \frac{1}{r_i^{1-\epsilon} - r_o^{1-\epsilon}} D G X^{-2.3026 b_i(T, h)}(x_i \leq x \leq x_o)\right)$

ここで、 $D=\exp(b_i \ln 10 / M_e) 10^{-\frac{b_i \ln 10}{2.3026 b_i(T, h)}}$ 、 $G=\frac{-2}{1-\epsilon}(r_i^{1-\epsilon} - r_o^{1-\epsilon})$ 、 $T_i=\frac{b_i \ln 10}{2.3026 b_i(T, h)} - 1$ ——(6)

ここで、 $\log_{10} S_a(T, h)=b_i(T, h) + b_1(T, h) M - b_2(T, h) \log_{10} (\Delta + 30)$ ——(7) [固有周期T、減衰定数h]

ここでは、 $r_i=30$ 、 $r_o=330$ としている。なお、橋軸方向の固有周期Tを概算すると $T=0.8s$ となり、 $\chi_e=13 \text{ gal}$ 、 $\chi_u=637 \text{ gal}$ となる。同様に、橋軸直角方向には $T=0.61s$ 、 $\chi_e=22 \text{ gal}$ 、 $\chi_u=719 \text{ gal}$ である。hは0.05とした。

(2)組合せ荷重効果の最大値の確率分布 組合せ荷重、風荷重と地震力の過度的荷重による組合せ荷重効果の最大値の確率分布は、荷重間の同時発生の可能性を考慮して、WenのLoad Coincidence Method⁽⁸⁾によって算出した。常時作用荷重(死荷重と温度荷重)のそれは、その荷重のレヘルトルの超過確率を用いて求めた。常時作用荷重と過度的荷重の組合せ荷重効果の最大値の確率分布は、死荷重の確率分布のたたみ込み積分より求めた。このため、式(13)が用いらる。なお、構造物の再現期間は50年とした。

4. 下部構造物の破壊確率

組合せ荷重効果の最大値の確率分布から、橋脚の破壊確率 P_f を求める。種々の荷重組合せに応じて、閾値レベル r は $r_i=1+\frac{D}{L}$ 、 $1+\frac{T}{D}+\frac{L}{D}$ 、 $1+\frac{T}{D}+\frac{EQ}{D}$ など(D,T,L, EQ, W:死荷重、温度変化、結合力、地震、風荷重による荷重効果)を意味する。

(1)橋軸方向の荷重組合せ(図-5参照) D+Tの計算例から

かるように、Tの影響はDの効果に比べてかなり大きい。 $P_f=10^{-4}$ で $r=9.5$ だから、死荷重効果を差し引くと、温度変化△Tは $\frac{r-1}{CT}=22 \text{ deg}$ となる。本研究では建設終了時の部材温度を 17°C とした。従って、 22 deg は部材温度の上限値に等しくなる。D+L、D+T+Lの組合せにおいて、LのCase2とCase7の相違はあまり見られなかったので、以後はCase7の結果のみ示す。D+Lで活荷重強度の平均値 μ_L を採用すると、 r_i は $C_u \mu_L=0.261$ となる。D+Lからは $r_i=1$ が推定された。この場合、Lの影響はさほど大きくなないと見える。 $P_f=10^{-4} \sim 10^{-6}$ の範囲において、D+Tより得られるTのレベルは約8.5、D+LからLのレベルは約1.1となる。両者のレベルの和はD+T+Lより求まるT+Lのレベル約9.2となり大きい。このことは、個々の荷重効果の最大値の和が組合せ荷重効果の最大値に等しくならないことを意味する。D+EQから、 $P_f=10^{-4} \sim 10^{-6}$ (r_i =

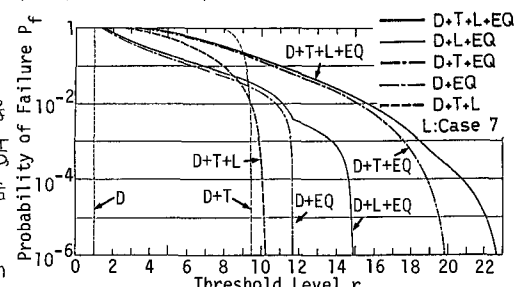


図-5 橋軸方向の荷重組合せの効果

10⁻⁴で $r=9.5$ だから、死荷重効果を差し引くと、温度変化△Tは $\frac{r-1}{CT}=22 \text{ deg}$ となる。本研究では建設終了時の部材温度を 17°C とした。従って、 22 deg は部材温度の上限値に等しくなる。D+L、D+T+Lの組合せにおいて、LのCase2とCase7の相違はあまり見られなかったので、以後はCase7の結果のみ示す。D+Lで活荷重強度の平均値 μ_L を採用すると、 r_i は $C_u \mu_L=0.261$ となる。D+Lからは $r_i=1$ が推定された。この場合、Lの影響はさほど大きくなないと見える。 $P_f=10^{-4} \sim 10^{-6}$ の範囲において、D+Tより得られるTのレベルは約8.5、D+LからLのレベルは約1.1となる。両者のレベルの和はD+T+Lより求まるT+Lのレベル約9.2となり大きい。このことは、個々の荷重効果の最大値の和が組合せ荷重効果の最大値に等しくならないことを意味する。D+EQから、 $P_f=10^{-4} \sim 10^{-6}$ (r_i =

117)において最大応答加速度 α は $\frac{11.7 - 1}{C_{EQ}} = 63.5 \text{ gal}$ となる。設計震度が 0.2 のとき, $r_{EQ} = C_{EQ} \times 200 \text{ gal} = 3.36$ である。死荷重効果の 1 を加えると $r = 4.36$ となり, P_f は図から逆算すると 0.2 である。このように発生率は低いが 1 度の采葉で多くの被害を及ぼす地震に対しては、ある程度のリスクを許容しておかなければいけない。D+EQ の急な勾配の曲線に比し、D+T+EQ や D+T+L+EQ の組合せにおいては r が P_f に及ぼす変化は鈍感である。ただし、D+L+EQ と D+T+L+EQ の計算に当たっては、活荷重質量と震動質量に含めた荷重間の従属性を考えた。そのため、活荷重強度の平均値はモード ($\mu_L = 0.45005 \text{ O}_L$) で近似し、 $2.777 \times 10^5 \text{ (kg)}$ とした。また地震荷重の等価な変換係数 C_{EQ} を、式(6)と(11)より 2.131×10^{-2} と求めた。D+EQ と D+L+EQ さらに D+T+EQ と D+T+L+EQ の結果を比較すれば、L を含むことにより、よりレベル (変化点) から両者への r , P_f の曲線の傾向が変化していくことがわかる。この変化点を超過したレベルの範囲では L と E の組合せの項が卓越する。L そのものの影響は小さく T や EQ に比べて無視できるが、L と EQ の組合せの影響は大きく明確に現れにくくなる。

(2) 橋軸直角方向への荷重組合せ 図-6 には L と EQ の P_f 従属性の効果を検討した。ただし、Case 2 と Case 7 の活荷重強度のモードは $1.25 \times 10^5 \text{ (kg)}$, $2.605 \times 10^5 \text{ (kg)}$ である。等価な変換係数 C_{EQ} は Case 2 で $8.182 \times 10^{-3} \text{ (kg)}$, Case 7 で $9.168 \times 10^{-3} \text{ (kg)}$ となる。同図より、従属性を考えたときの Case 2 と Case 7 の差が大きいのが特徴である。活荷重効果が大きく地震による荷重効果の大きさに近づければ、両者の組合せを考える必要がある。活荷重効果が小さくても死荷重効果に対して無視できるほど小さくない限り、活荷重質量と死荷重とともに震動質量に含む影響は大きい。Case 7 を考えたときには従属性を考慮しなくとも明らかに組合せの効果が現れにくくなる。

図-7 から以下のことがわかる。J+T に対して図-5 と図-7 を比較すると、橋軸直角方向においては震度変化の影響が小さい。同様に L の効果を比べれば、活荷重の発生率の影響はあまりなく、むしろ強度の標準偏差の影響が大きい。D+EQ からわかるように、あたかもレベル r を超過すると P_f の変化が急である。 $P_f = 10^{-4} \sim 10^{-6} (r = 6.2)$ において、 $\alpha = \frac{r-1}{C_{EQ}} = 7.20 \text{ gal}$ となり、最大応答加速度の上限値に等しい。本研究では風速について上限を明確に決めていないので、D+W や D+T+W の曲線はレベル r の変化に応じて滑らかに減少していく。大阪地区の瞬間最大風速の実測値が 60 m/s であることを参考せば、上限を設定する必要があるかもしれない。D+L+W と D+T+L+W の比較から、活荷重の影響が大きくなれば、L と W の組合せを考える必要性が認められる。D+W+EQ と D+T+W+EQ を計算したが、これらは D+EQ と D+T+EQ とはほぼ同じ曲線となった。W と EQ の同時発生率 $V_{W, EQ}$ が $V_{W, EQ} = V_W \cdot V_{EQ} \cdot (\mu_{dW} + \mu_{dEQ}) = 1.965 \times 10^{-6}$ とかなり小さなためである。本試算例においては地震と風の組合せは考慮する必要がないであろう。しかし、 $C_w^* = 1.5 C_w$ 変換係数を考えると、 $P_f < 10^{-6}$ で両者の組合せが重要となることであった。全体的に、荷重の組合せを論じると、地震の影響が最も大きく、活荷重自体の影響が小さいにもかかわらず、特に活荷重と地震荷重との組合せ効果が卓越している。

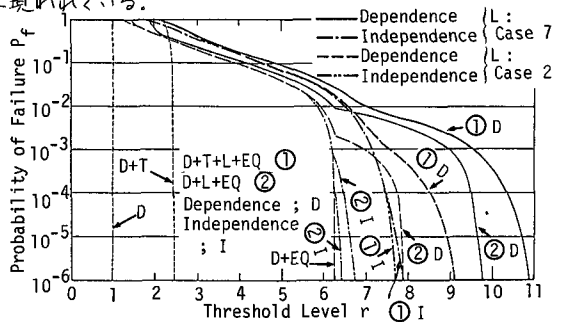


図-6 橋軸直角方向における活荷重と地震荷重の従属性の相違

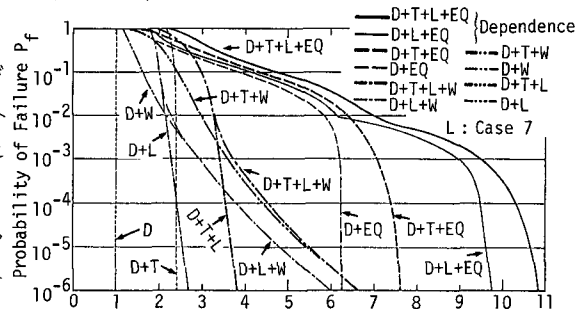


図-7 橋軸直角方向の種々の荷重組合せが破壊確率に及ぼす影響

謝辞 数々の貴重な資料を快く提供して頂いた阪神高速道路公团・江見晋氏に謝意を表します。

参考文献 1) 山田・家村・野田・伊津野：第29回構造工学シンポジウム, PP.133-144, 1983.2. 2) 鈴木: 気象統計学, 地図書館, 昭43.8. 3) 統理府統計局編: 日本統計年鑑, 第1回~第32回, 1947~1980. 4) 東京天文台編: 理科年表, 第55冊, 丸善, 1982. 5) 藤野・伊藤・酒井: 土木学会論文報告集, 第305号, PP. 23-34, 1981. 6) Cornell, C.A.: B.S.S.A., Vol. 58, No. 5, PP. 1583-1606, October 1968. 7) 家村・鬼田: 上木学会第37回年次学術講演会講義概要集第1部, I-329, PP. 657-658, 昭57. 10. 8) Wen, Y.-K. and H.T. Pearce: SRS No.499, Dept. of Civil Engng., Univ. of Illinois at Urbana-Champaign, March 1981.